

مقاوم‌سازی ساختمان‌های فولادی به کمک میراگرها اصطکاکی چرخشی*

«یادداشت پژوهشی»

محمد علی هادیان فرد^(۱)

چکیده با استفاده از میراگرها اصطکاکی چرخشی می‌توان رفتار لرزه ای ساختمان‌های فولادی را بهبود بخشید و نیروهای داخلی را در بادبندانها، ستون‌ها و سایر اعضای سازه به مقادیر قابل توجهی کاهش داد. در این تحقیق روشی ساده برای مدل‌سازی و تحلیل قاب‌های بادبندی مجهز به این میراگرها پیشنهاد گردیده است. مدل پیشنهادی به خوبی بیانگر رفتار لرزه‌ای میراگر است و قابل کاربرد برای تحلیل قاب‌های بادبندی شده با مقاطع رایج در ایران می‌باشد. قاب‌های فولادی بادبندی شده در دو حالت بدون میراگر و همراه با میراگر مورد تحلیل دینامیکی تاریخچه زمانی قرار گرفته و مواردی نظری برپایه، نیروی محوری ستون‌ها و بادبندانها، جابه‌جایی نسبی طبقات و غیره با هم مقایسه گردیده‌اند. سازه در تمامی موارد سازه با میراگر عملکرد بهتری داشته و رفتار لرزه ای مناسب‌تری از خود نشان داده است. بنابراین برای تقویت ساختمان‌های موجود و یا طراحی سازه‌های جدید با وزن کمتر، استفاده از میراگرها اصطکاکی اصطکاکی بسیار مفید می‌باشد.

واژه‌های کلیدی مقاوم‌سازی، میراگر اصطکاکی چرخشی، ساختمان‌های فولادی، استهلاک انرژی.

Rehabilitation of Steel Structures by Using the Rotational Friction Dampers

M. A. Hadianfard

Abstract The rotational friction dampers can be improved the seismic behavior of the steel structures, and they can be reduced the internal forces in the bracing members, columns and the other structural members. In this research, a simple method for modeling and analysis of braced frames equipped by these dampers is proposed. The proposed model describes seismic behavior of dampers very well and it is applicable to analysis of braced frames with common sections in Iran. Braced steel frames with dampers and without dampers are considered for time-history dynamic analysis, and some parameters such as: base shear, axial forces of the columns and the bracing, drift of stories etc. for two different cases are compared. In the entire analyzes, the structure with damper has been shown the better performance and the more suitable seismic behavior than the structure without damper. Then, use of frictional dampers for rehabilitation of existing buildings or designing of new structures with minimum weight is very useful.

Keywords Rehabilitation, Rotational Friction Damper, Steel Structure, Energy Dissipation.

★ تاریخ دریافت مقاله ۸۹/۱۰/۲۷ و تاریخ پذیرش آن ۹۲/۲/۱۰ می‌باشد.

(۱) دانشیار، دانشکده مهندسی عمران و محیط زیست، دانشگاه صنعتی شیراز.

لغزش ایجاد شده در آنها انرژی زلزله مستهلك می‌گردد.

در تحقیق حاضر روشی ساده و عملی برای مدل کردن میراگرها توسط نرم‌افزارهای رایج آنالیز سازه نظیر ETABS پیشنهاد گردیده است و سپس رفتار لرزه‌ای ساختمان‌های فولادی مهاربندی شده همراه با میراگرها اصطکاکی چرخشی مورد تحلیل و بررسی قرار گرفته است و با رفتار سیستم‌های فاقد میراگر مقایسه گردیده است و نشان داده شده است که استفاده از میراگرها اصطکاکی می‌تواند به مقدار قابل توجهی رفتار لرزه‌ای سازه را بهبود بخشد. مهاربندها به صورت شورن است و میراگر در محل اتصال مهاربند به تیر قرار دارد، در ضمن میله‌های مهاربند به صورت پیش تنبیه نیست و برای آنها از مقاطع متداول در ایران (مقاطع دوبل ناودانی) استفاده شده است. بنابراین مهاربندها به گونه‌ای طراحی گردیده‌اند که دارای مقاومت فشاری کافی هستند و قبل از لغزش میراگر کمانش نمی‌کنند. در اصل تفاوت مدل استفاده شده در این پژوهش با مدل‌های قبلی مطالعه شده توسط مؤلا [5] و پارک [6] در نوع مقطع مهاربندها می‌باشد.

مشخصات میراگر اصطکاکی چرخشی

در شکل (۱) نمونه‌ای از میراگر اصطکاکی چرخشی نمایش داده شده است. همچنین یک تصویر شماتیک از نحوه استقرار سیستم میراگرها متصول به مهاربندهای شورن در شکل (۲) نشان داده شده است. از آنجایی که مهاربندهای متصول به صفحه‌ی افقی میراگر مانع چرخش آن می‌شوند، میراگر مانند یک گره A شکل صلب عمل می‌کند که در صورت غلبه‌ی گشتاور اعمالی بر مقاومت اصطکاکی شروع به چرخش می‌نماید و توسط نیروی اصطکاکی موجود بر وجوده تماس باعث استهلاک انرژی می‌شود. اگر لنگر چرخشی اصطکاکی قابل تحمل توسط میراگر را با M_f نمایش دهیم (بعد از این لنگر پیچشی در میراگر لغزش رخ می‌دهد) و لنگر نهایی ناشی از نیاز لرزه‌ای در

مقدمه

استفاده از میراگرها اصطکاکی برای کاهش پاسخ دینامیکی سازه‌ها در برابر بارهای جانبی باد و زلزله به عنوان یک سیستم ارزان‌قیمت مستهلك کننده‌ی انرژی که به راحتی قابل نصب و تعمیر می‌باشد، توسط محققان زیادی مورد مطالعه و آزمایش قرار گرفته است. از این جمله می‌توان به مطالعات انجام شده توسط پال و مارش [1]، همچنین آیکن و همکاران [2,3]، گریگورین و پاپو [4] اشاره نمود. استفاده از میراگر اصطکاکی چرخشی برای اولین بار در سال ۲۰۰۲ توسط مؤلا و بیلیو [5] مورد مطالعه و آزمایش قرار گرفت. این افراد پاسخ یک قاب فولادی یک‌طبقه‌ی مجهر به بادبندهای شورون (مهاربند ۸) پیش‌تبیه همراه با میراگر اصطکاکی چرخشی را مورد بررسی قرار دادند. همچنین تحقیقات تکمیلی بر روی قاب‌های مهاربندی شده مجهر به میراگر اصطکاکی چرخشی در سال ۲۰۰۷ توسط پارک و همکاران [6] انجام گرفت.

مؤلا و بیلیو [5] اثر نیروی پیش‌تبیه‌گی بادبندها را بر روی رفتار میراگر اصطکاکی و پاسخ سازه بررسی نمودند و نشان دادند که میزان پیش‌تبیه‌گی بادبندها نقش اساسی در تغییر پاسخ سازه ندارد و اصولاً پیش‌تبیه‌گی برای اقتصادی کردن مقطع بادبندها و جلوگیری از کمانش آنها دارای کاربرد می‌باشد. در تحقیقات انجام شده توسط ایشان حداقل تفاوت بین پاسخ دو سازه یکی با استفاده از ۱۰۰ درصد نیروی پیش‌تبیه‌گی و دیگری با ۲۰ درصد نیروی پیش‌تبیه‌گی کمتر از ۴ درصد بوده است.

بنابراین با توجه به نوع ساخت و سازها در ایران که معمولاً از سیستم قاب‌های بادبندی استفاده می‌گردد و باید سیستم مهاربندی در زلزله‌های متوسط و خفيف بتواند بدون استفاده از عملکرد میراگر نیروهای جانبی را تحمل کند و جایه‌جایی سازه را کنترل نماید، لازم است که بادبندها از مقاطع نسبتاً قوی و مقاوم در برابر کمانش ساخته شوند. در این حالت در زلزله‌های قوی قبل از کمانش بادبندها میراگرها فعال می‌گردند و با

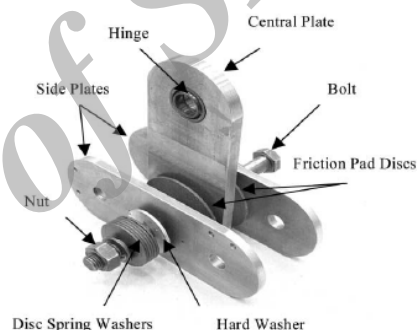
مدل کردن سازه شامل میراگر

در این تحقیق برای مدل کردن سازه از نرم افزار ETABS2000 استفاده شده است. و روشی ساده و عملی برای مدل کردن میراگرهای اصطکاکی چرخشی پیشنهاد گردیده است که با استفاده از آن می‌توان قاب‌های دو بعدی یا سه بعدی چندین طبقه را به راحتی مورد تحلیل قرار داد. قاب‌های مورد بررسی همگی به صورت قاب صلب بادیندی شده می‌باشند و کلیه‌ی بادیندها به شکل (۸) (شورن) و مجهز به سیستم میراگر اصطکاکی چرخشی می‌باشند که در محل اتصال بادیند به تیر قوار می‌گیرند. برای اعضای تیر و ستون و بادیند از المان‌های FRAME و برای میراگر اصطکاکی از المان LINK استفاده گردیده است. به کمک این المان، مقادیر سختی و میرایی و همچنین مقاومت تسليم (لنگر لغزش) و نسبت سختی پس از تسليم جهت میراگرهای چرخشی تعریف می‌گردد و رفتار میراگر به صورت دو خطی مدل می‌شود.

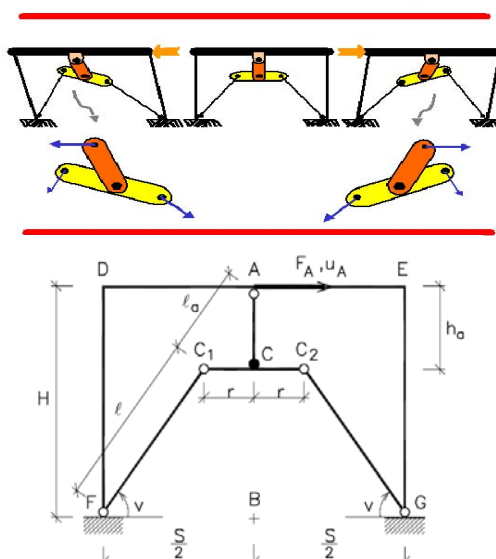
میراگر چرخشی اصطکاکی، به صورت دو میله‌ی صلب که به صورت T شکل به هم مفصل گردیده‌اند مدل شده است. همان‌طور که در شکل (۲) نشان داده شده است، دو گره مربوط به انتهای بال T شکل محل اتصال عضوهای قطعی مهاربند و گره انتهای جان T شکل محل اتصال میراگر به تیر می‌باشد. گره وسط عضو T شکل که در آن محل دو میله‌ی صلب به هم مفصل شده‌اند، بیان‌کننده‌ی رفتار اصلی میراگر می‌باشد. با تعریف المان LINK در این نقطه و اختصاص رفتار دو خطی به آن، بعد از رسیدن لنگر به لنگر لغزش، این گره به صورت مفصل عمل می‌نماید و باعث اتلاف انرژی زلزله می‌گردد.

آنالیز سازه به صورت دینامیکی تاریخچه زمانی و با استفاده از رکورد زلزله‌ی استنترو صورت گرفته است. قاب‌های مورد مطالعه شامل دو قاب دو بعدی A و B مطابق اشکال (۳) و (۴) و قاب سه بعدی C مطابق شکل (۵) می‌باشند. خصوصیات مقاطع استفاده شده در قاب‌های دو بعدی A و B در جداول (۱) و (۲) و

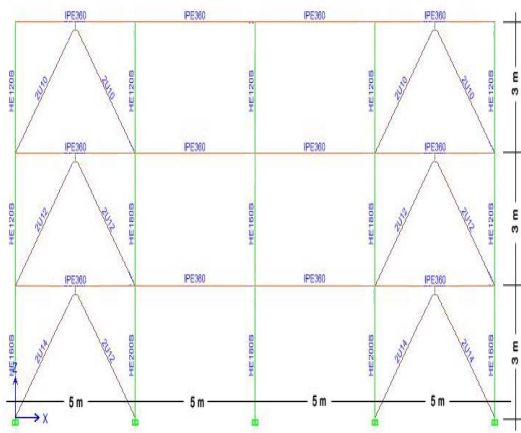
میراگر قفل شده و بدون لغزش معادل M_{Uu} باشد، مقاومت نرمالیز شده میراگر را می‌توان به صورت $\eta_m = M_f/M_u$ بیان نمود. اگر لنگر لغزش در میراگر $\eta_m = 0$ (در این حالت $M_f = 0$) باشد، میراگر با صفر باشد. و اگر لنگر لغزش میراگر معادل با نیاز لزهای باشد ($M_f = M_u$) در این حالت $\eta_m = 1$ است که معادل با قاب بادیندی بدون میراگر می‌باشد. بنابراین محدوده‌ی عملکرد میراگر چرخشی مربوط به $0 < \eta_m < 1$ است. بهترین η_m که حداقل اتلاف انرژی و حداقل جابه‌جایی در قاب را ایجاد می‌کند، نشان‌دهنده‌ی میزان لنگر لغزش بهینه برای میراگر می‌باشد [5].



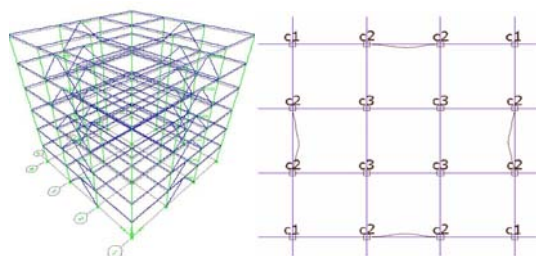
شکل ۱ قطعات میراگر اصطکاکی چرخشی



شکل ۲ تصویر شماتیک از قاب مجهز به میراگر اصطکاکی چرخشی [5]

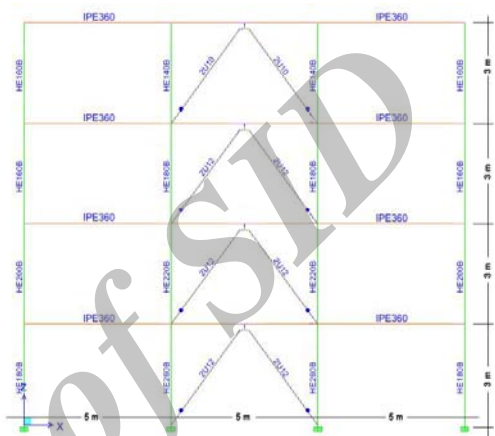


شکل ۴ نمایش قاب نوع B



شکل ۵ نمایش نما و پلان قاب سه‌بعدی نوع C

خصوصیات مقاطع مربوط به قاب سه‌بعدی C در جدول (۳) منعکس گردیده است. در قاب‌های دو بعدی A و B از مردهای وارد بر تیرها برابر با ۳ تن بر متر و بار زنده برابر با ۱ تن بر متر در نظر گرفته شده است و در قاب سه‌بعدی C از مردهای برابر با ۷۰۰ کیلوگرم بر مترمربع بر متر مربع و بار زنده برابر با ۲۰۰ کیلوگرم بر مترمربع در نظر گرفته شده است.



شکل ۳ نمایش قاب نوع A

جدول ۱ مشخصات مقاطع قاب دو بعدی

طبقه	ستون‌های کناری	ستون‌های میانی	تیرها	باد بندها
۱	HEB 200	HEB 260	IPE360	2U12
۲	HEB 200	HEB 220	IPE360	2U12
۳	HEB 180	HEB 180	IPE360	2U12
۴	HEB 160	HEB 140	IPE360	2U10

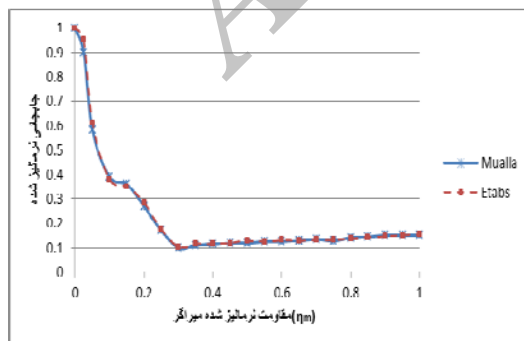
جدول ۲ مشخصات مقاطع قاب دو بعدی B

طبقه	ستون‌های کناری	ستون‌های میانی (کنار بادبند)	ستون وسط	تیرها	باد بندها
۱	HEB 160	HEB 200	HEB 180	IPE360	2U12
۲	HEB 120	HEB 180	HEB 160	IPE360	2U12
۳	HEB 120	HEB 120	HEB 120	IPE360	2U10

جدول ۳ مشخصات مقاطع قاب سه بعدی C

طبقه	ستون های چهارگوش ساختمان (C1)	ستون های کنار بادبند (C2)	ستون های وسط ساختمان (C3)	تیرهای ساختمان	بادبند ها
۱	HEB 700	HEB 700	HEB 700	IPE 270	2U 30
۲	HEB 700	HEB 700	HEB 400	IPE 270	2U 30
۳	HEB 700	HEB 450	HEB 400	IPE 270	2U 28
۴	HEB 600	HEB 450	HEB 400	IPE 270	2U 22
۵	HEB 400	HEB 300	HEB 300	IPE 270	2U 18
۶	HEB 260	HEB 240	HEB 240	IPE 270	2U 14

حداکثر شتاب $PGA=3.417 \text{ m/Sec}^2$ می‌باشد. رفتار غیرخطی میراگر به صورت دو خطی مدل گردیده است. در شکل (۶) پاسخ به دست آمده برای سازه (جایه‌جایی نرمالیز شده) در ازای مقادیر مختلف η_m (مقاآمت نرمالیز شده میراگر) که توسط مؤلا و بیلیو [۷] قبلاً به کمک نرم‌افزار DRAIN-2DX محاسبه شده است با پاسخ به دست آمده در این مقاله توسط نرم‌افزار ETABS مقایسه گردیده است (برای حالت ۳A_b). همچنین در شکل (۷) درصد اتلاف انرژی به دست آمده از دو حالت فوق با هم مقایسه گردیده است. حداکثر تفاوت در نتایج در حدود ۶ درصد می‌باشد که حاکی از دقیق خوب مدل‌سازی به روش پیشنهادی توسط نرم‌افزار ETABS می‌باشد.



شکل ۶ مقایسه پاسخ سازه حاصل از نرم‌افزار ETABS و مطالعات مؤلا [۵]

صحبت‌سنگی مدل‌سازی

به منظور صحبت‌سنگی مدل‌سازی‌های انجام شده، قاب یکدهانه‌ی یک‌طبقه‌ی در نظر گرفته شده توسط مؤلا و بیلیو [۵] که توسط نرم‌افزار DRAIN-2DX تحلیل شده است، در این مطالعه مجدداً با نرم‌افزار 2000-ETABS مدل‌سازی و تحلیل شده است. خصوصیات این قاب به شرح زیر می‌باشد:

دهانه‌ی قاب برابر با $7/6$ متر و ارتفاع آن $4/6$ متر می‌باشد. تیر قاب به صورت کاملاً صلب و با سختی بی‌نهایت در نظر گرفته شده است. اتصال ستون‌ها به تکیه‌گاه به صورت کاملاً گیردار و مقطع ستون‌ها از نوع بالپهن با ممان اینرسی $I=34\times 10^6 \text{ mm}^4$ می‌باشد. وزن کل سازه معادل 450 کیلو نیوتن و پریود آن برابر $T=1 \text{ Sec}$ می‌باشد و نسبت میرایی برابر با 5 درصد در نظر گرفته شده است. بر روی این قاب در محل اتصال بادبند شورون از میراگر اصطکاکی چرخشی به ابعاد $h_a=0.2 \text{ m}$ و $r=0.165 \text{ m}$ استفاده شده است (شکل ۲ می‌باشد). برای بادبندها از سه مقطع مختلف استفاده شده است؛ مقطع اول از میلگرد به قطر 16 میلی‌متر و مساحت $A_b=201 \text{ mm}^2$ می‌باشد و مقاطع دوم و سوم هر کدام دارای مساحت‌های $2A_b$ و $3A_b$ می‌باشند. شتاب‌نگاشت مورد استفاده برای تحلیل تاریخچه زمانی، مؤلفه‌ی شمالی-جنوبی زلزله‌ی السترو با

بهینه را با توجه به بند سوم مشخص کرد. برای این کار کافی است که سازه تؤام با میراگر برای نیروهای لغزش مختلف آنالیز شود و با استفاده از نتایج آن نیروی لغزشی (لنگر لغزشی) که کمترین نیروی برش را در طبقه به وجود می‌آورد به عنوان نیروی لغزش بهینه میراگر انتخاب گردد.

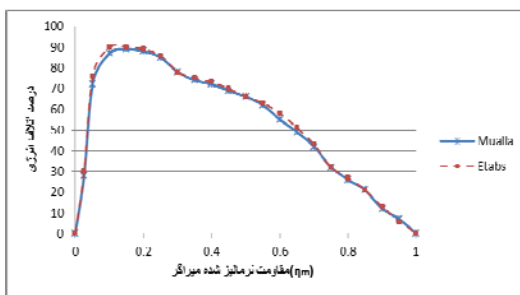
برای قاب یکدهانه‌ی یکطبقه‌ی نشان داده شده در شکل (۲) که مجهز به میراگر و بادبند‌های پیش‌تینیده می‌باشد می‌توان مقدار لنگر لغزش بهینه (M_{FOPT}) را پس از آنالیز سازه از رابطه‌ی (۱) به دست آورد [۷,۸].

$$\frac{M_{FOPT}}{h_a E A_b} = \frac{u_{AO}}{L} \cos^2 v \quad (1)$$

در این رابطه h_a ارتفاع میراگر، u_{AO} تغییر مکان جانی قاب، A_b سطح مقطع بادبند، E مدول الاسيستیه فولاد، L طول بادبند و v زاویه‌ی بادبند نسبت به محور افق می‌باشد.

برای مدل‌های تحلیل شده در این مقاله که به صورت قاب‌های چنددهانه‌ی چندطبقه می‌باشند و از بادبند‌های با مقاطع معمول ناواردانی و بدون پیش‌تینیدگی استفاده شده است، رابطه‌ی (۱) دارای دقیق کافی نیست و به جای آن باید از گام‌های سه‌گانه‌ی توضیح داده شده در بالا استفاده نمود. در مدل‌های مورد نظر برای پیدا کردن لنگر لغزش بهینه، قاب را تحت اثر رکورد زلزله‌ی استereo تحلیل نموده و برای نیروهای لغزش مختلف، نیروی برش طبقات محاسبه و بر اساس کمترین نیروی برش ایجاد شده، مقدار نیرو (لنگر) لغزش بهینه محاسبه گردیده است.

به عنوان نمونه برای قاب دو بعدی مدل A نتایج تحلیل در جدول (۴) و برای قاب دو بعدی مدل B نتایج در جدول (۵) منعکس گردیده است. برای هر دو قاب مقادیر به دست آمده از فرمول (۱) با مقادیر دقیق به دست آمده از تحلیل مقایسه گردیده است که حاکی از عدم دقیق کافی رابطه‌ی (۱) برای مدل‌های تحلیل شده می‌باشد (به جز برای طبقه‌ی آخر ساختمان).



شکل ۷ مقایسه‌ی درصد اتفاق انرژی حاصل از نرم افزار

ETABS و مطالعات مؤلا [۵]

برآوردن نیروی لغزش بهینه در میراگر

نیروی لغزش میراگر به نیرویی گفته می‌شود که گشتاور ناشی از آن نیرو حول نقطه‌ی چرخش از گشتاور اصطکاکی صفحات حول آن نقطه بیشتر شود و باعث لغزیدن صفحات اصطکاکی روی هم گردد. نکته‌ی مهمی که در طراحی میراگر اصطکاکی وجود دارد تعیین میزان نیروی لغزش بهینه در گره‌های اصطکاکی می‌باشد. برای این منظور لازم است که به توضیحات زیر توجه نمود.

- سیستم میراگر اصطکاکی نباید در برابر بارهای باد و زلزله‌های ضعیف تا متوسط و یا در برابر نیروهای برشی به دست آمده از روابط استاتیکی آئین نامه‌ها شروع به لغزش نماید. این مطلب حداقل مقدار نیروی لغزش را مشخص می‌نماید.
- عمل لغزش در میراگر باید به نحوی باشد که مقدار انرژی تلف شده به وسیله‌ی عمل اصطکاک به حداقل مقدار خود برسد.

- عمل لغزش در میراگر باید به نحوی باشد که مقدار مشخص شده است محدوده‌ای را برای تعیین مقدار تقریبی نیروی اصطکاک مشخص می‌نماید و با انجام چند سری آنالیز غیرخطی می‌توان مقدار نیروی لغزش حدود بالا و پایین که در بنددهای اول و دوم مشخص شده است محدوده‌ای را برای تعیین مقدار تقریبی نیروی اصطکاک مشخص می‌نماید.

(۵) برای قاب مدل B در طبقات اول و دوم $M_{FOPT} = 5$ T.m و در طبقه سوم معادل $M_{FOPT} = 3$ T.m در نظر گرفته شده است.

برای قاب سه بعدی مدل C مقادیر تغییر مکان و لنگر لغزش در جهت X و Y در جدول (۶) ارائه گردیده است. با توجه به این جدول در جهت X از لنگر لغزش $M_{FOPT-X} = 8$ T.m و در جهت Y از لنگر لغزش $M_{FOPT-Y} = 5$ T.m استفاده شده است.

برای هر دو قاب A و B مقادیر V و L مطابق زیر در نظر گرفته شده است.

$$v = \tan^{-1}\left(\frac{3}{2.5}\right) = 50$$

مهاربند

$$L = \sqrt{3^2 + 2.5^2} = 3.9$$

با توجه به جدول (۴) مقدار لنگر لغزش بهینه برای کلیه طبقات قاب مدل A برابر با $M_{FOPT} = 5.5$ T.m انتخاب گردیده است. همچنین با توجه به جدول

جدول ۴ تغییر مکان طبقات و لنگر لغزش در قاب مدل A

طبقه	تغییر مکان (mm)	لنگر لغزش بهینه براساس رابطه‌ی (۱) (T.m)	لنگر لغزش بهینه حاصل از تحلیل دقیق (T.m)
۴	۴/۰	۴/۸۰	۴/۸۰
۳	۴/۴	۶/۶۵	۵/۲۵
۲	۵/۴	۸/۱۶	۵/۸۵
۱	۳/۸	۵/۷۴	۴/۹۰

جدول ۵ تغییر مکان طبقات و لنگر لغزش در قاب مدل B

طبقه	تغییر مکان (mm)	لنگر لغزش بهینه براساس رابطه‌ی (۱) (T.m)	لنگر لغزش بهینه حاصل از تحلیل دقیق (T.m)
۳	۲/۵	۳/۰۴	۳/۱۰
۲	۴/۰	۶/۰۴	۴/۹۰
۱	۵/۲	۷/۸۶	۷/۲۰

جدول ۶ تغییر مکان طبقات و لنگر لغزش در قاب سه بعدی مدل C

طبقه	X تغییر مکان (mm)	MX (T.m)	Y تغییر مکان (mm)	MY (T.m)
۶	۵/۰	۵/۸	۲/۵	۲/۹
۵	۶/۰	۶/۷	۳/۵	۴/۲
۴	۷/۳	۸/۵	۵/۰	۵/۷
۳	۶/۵	۷/۸	۴/۵	۵/۱
۲	۵/۵	۶/۶	۳/۹	۴/۸
۱	۳/۵	۴/۷	۳/۱	۴/۰

میزان اتلاف انرژی می‌باشد، بسیار قابل توجه است. منحنی هیسترسیس فوق از لحاظ شکل ظاهري و میزان اتلاف انرژي تطابق بسیار خوبی با منحنی‌های به دست آمده از نتایج آزمایشگاهی مؤلا و بیلیو [7] دارد.

یکی دیگر از شاخص‌های ارزیابی لرزاوهای سازه‌ها حداقل میزان برش ناشی از زلزله در طبقات مختلف ساختمان است. در شکل (۹) نیروی برشی طبقات در سازه‌ی مدل C در جهت X و در دو حالت با میراگر (FMBD) و بدون میراگر مقایسه شده است، به کمک میراگر اصطکاکی برش پایه از ۴۵۵ تن در سازه بدون میراگر به مقدار ۲۵۶ تن در سازه با میراگر کاهش یافته است. در شکل (۱۰) برای سازه‌ی مدل C تغییرات نیروی محوری یک بادیند نسبت به زمان (تاریخچه زمانی نیروی بادیند) برای دو حالت با میراگر و بدون میراگر رسم شده است. در سازه بدون میراگر (FMBD) نیروی محوری بادیند در زمان ۵ ثانیه برابر با ۹۸ Ton می‌باشد در صورتی که در همین زمان در سازه با میراگر (FMBD) نیروی محوری برابر با ۵۹ Ton می‌باشد. اما در زمان ۲۵ ثانیه نیروی محوری بادیندها در هر دو سازه بدون میراگر و با میراگر برابر با ۲۲ تن می‌باشد که نشان‌دهنده‌ی این است که استفاده از میراگر اصطکاکی باعث کم شدن نیروی بادیندها در زمان اوج می‌باشد و منحنی نیروی محوری بادیندها را هموارتر می‌سازد. در تمامی مدل‌ها نیروی محوری بادیندها هنگام استفاده از میراگر اصطکاکی کاهش یافته است، در مجموع عملکرد میراگر اصطکاکی در پایین آوردن نیروی محوری بادیندها کاملاً مطلوب ارزیابی می‌گردد. در تحلیل‌های فوق مشاهده گردید که با اضافه کردن میراگر اصطکاکی، علاوه بر کاهش برش پایه‌ی ساختمان، مقدار نیروی حداقل در بادیندها نیز توسط لغزش میراگر کنترل می‌گردد و کاهش می‌یابد؛ و عملاً اعضای اصلی سازه (تیرها و ستون‌ها) دارای تغییر شکل‌های غیرخطی اندکی می‌باشند که باعث حذف یا کاهش خسارت در ساختمان می‌گردد.

کردن میراگر اصطکاکی، علاوه بر کاهش برش پایه‌ی ساختمان، مقدار نیروی حداقل در بادیندها نیز توسط لغزش میراگر کنترل می‌گردد و کاهش می‌یابد؛ و عملاً اعضای اصلی سازه (تیرها و ستون‌ها) دارای تغییر شکل‌های غیرخطی اندکی می‌باشند که باعث حذف یا کاهش خسارت در ساختمان می‌گردد.

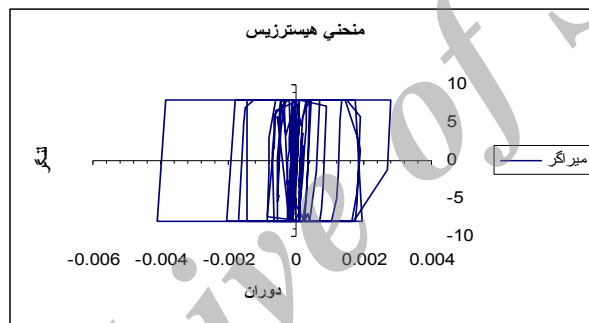
بررسی عملکرد لرزاوهای سازه شامل میراگر

پس از محاسبه‌ی نیروی لغزش بهینه به‌نحوی که قبل اشاره شد، مشخصات میراگر کامل می‌شود. پس از آن در سازه‌های مورد مطالعه می‌توان اثر وجود میراگر را بر روی پارامترهایی نظیر لنگر ستون‌ها، نیروی محوری ستون‌ها، برش طبقات، تغییر مکان نسبی طبقات، شتاب ماکزیمم طبقات و اتلاف انرژی در سازه مورد بررسی قرار داد. در جدول شماره‌ی (۷) نیروهای تغییر مکان‌های مربوط به سازه‌ی مدل A در دو حالت با میراگر و بدون میراگر و در جدول (۸) مقادیر مربوط به سازه‌ی مدل B ارائه شده است. همچنین در جدول شماره‌ی (۹) این مقادیر برای سازه سه‌بعدی مدل C ارائه گردیده است. مطابق این جداول دیده می‌شود که در قاب مدل A که فقط شامل یک دهانه‌ی بادیندی مجهز به میراگر می‌باشد، مقدار برش پایه در حدود ۳۳ درصد و در قاب مدل B که دارای دو دهانه بادیندی مجهز به میراگر و تعداد طبقات کمتری می‌باشد، مقدار برش پایه در حدود ۶۵ درصد کاهش یافته است که تقریباً دو برابر قاب مدل A می‌باشد. همچنین میزان کاهش نیروی محوری ستون‌ها و بادیندها در مدل A در حدود ۳۵ درصد و در مدل B در حدود ۷۵ درصد می‌باشد. میزان کاهش تغییر مکان‌ها نیز در قاب مدل B در حدود ۳/۵ برابر قاب مدل A می‌باشد که همگی نشان‌دهنده‌ی کارایی و عملکرد مناسب میراگر چرخشی می‌باشند. رفتار مناسب میراگرها در کاهش نیروهای داخلی و تغییر مکان‌ها و بهبود مشخصات لرزاوهای سازه در قاب سه‌بعدی مدل C نیز کاملاً مشهود می‌باشد.

در شکل (۸) نمودار نیرو-تغییر مکان (لنگر-دوران) میراگر مربوط به مدل C رسم شده است. لنگر لغزش در این میراگر $M=8 \text{ T.m}$ تعریف شده است. رفتار هیسترسیس و کارکرد این میراگر با توجه به لنگر لغزش معروف شده به‌خوبی مشخص می‌باشد، و دیده می‌شود که سطح داخلی این منحنی که بیان کننده‌ی

جدول ۷ نیروها و تغییرمکان‌های مربوط به سازه‌ی مدل A

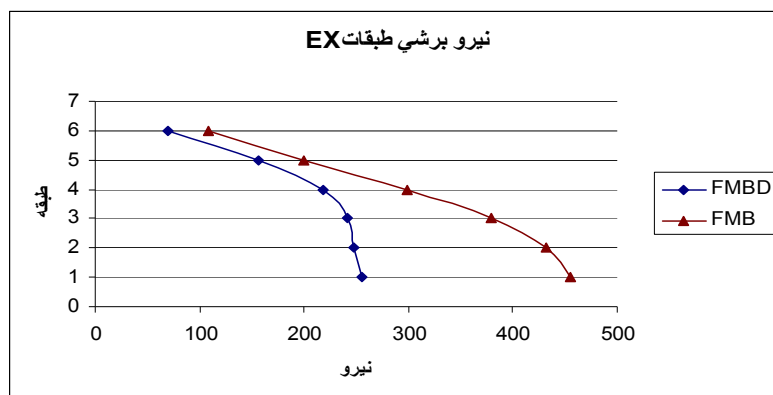
ردیف	نیروها و تغییرمکان‌های سازه	سازه با میراگر	سازه بدون میراگر	میزان کاهش در اثر میراگر (درصد)
۱	مجموع نیروی محوری بادیندها (Ton)	۶۲/۸۱	۹۴/۵	۳۴
۲	مجموع نیروی محوری ستون‌ها (Ton)	۹۶/۱۵	۱۴۹/۱۴	۳۶
۳	مجموع لنگر خمیستون‌ها (T.m)	۱۳/۶	۱۰/۹	۱۴
۴	تغییر مکان نسبی بام (mm)	۳/۸	۴/۹	۲۲
۵	تغییر مکان بام (mm)	۱۶/۷	۱۹/۵	۱۴
۶	برش پایه (Ton)	۴۳/۵۹	۶۵/۶	۳۳
۷	شتاب بام (m/S^2)	۴	۴/۷۷	۱۶



شکل ۸ نمودار نیرو- تغییر مکان میراگر اصطکاکی

جدول ۸ نیروها و تغییرمکان‌های مربوط به سازه‌ی مدل B با میراگر و بدون میراگر

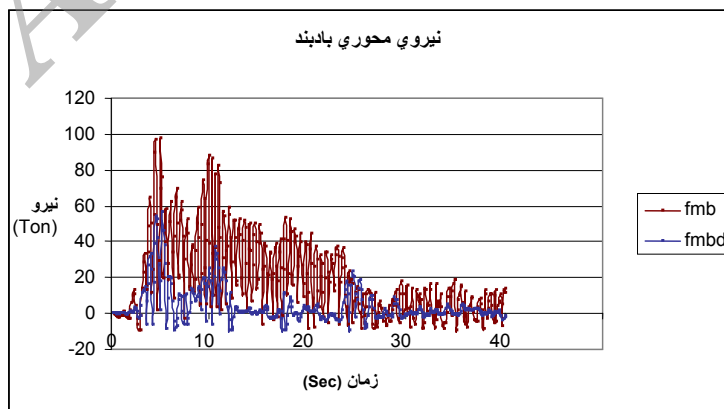
ردیف	نیروها و تغییرمکان‌های سازه	سازه با میراگر	سازه بدون میراگر	میزان کاهش در اثر میراگر (درصد)
۱	مجموع نیروی محوری بادیندها (Ton)	۱۸/۵۸	۶۵/۰۹	۷۲
۲	مجموع نیروی محوری ستون‌ها (Ton)	۸/۳۴	۴۲/۳۲	۸۰
۳	مجموع لنگر خمیستون‌ها (T.m)	۰/۹۴۵	۳/۹۵	۷۶
۴	تغییر مکان نسبی بام (mm)	۰/۸۳	۲/۷۴	۷۱
۵	تغییر مکان بام (mm)	۲/۱	۷/۱۴	۷۰
۶	برش پایه (Ton)	۱۵/۸	۴۵/۵۶	۶۵
۷	شتاب بام (m/S^2)	۱/۱۲	۴/۵۸	۷۵



شکل ۹ برش طبقات در سازه‌ی مدل C

جدول ۹ نیروها و تغییر مکان‌های مریوط به سازه‌ی مدل C با میراگر و بدون میراگر

ردیف	نیروها و تغییر مکان‌های سازه	جهت X			جهت Y		
		با میراگر	بدون میراگر	درصد کاهش	با میراگر	بدون میراگر	درصد کاهش
۱	مجموع نیروی محوری بادبندها (Ton)	۲۲۰	۴۱۰	۴۷	۲۶۸	۶۸۸	۶۱
۲	مجموع نیروی محوری ستون‌ها (Ton)	۸۶۸	۱۶۳۸	۶۸	۷۰۵	۱۴۸۴	۵۲
۳	مجموع لنگر خمیستی ستون‌ها (Ton.m)	۴۶۰	۱۷۹۱	۴۲	۹۸	۱۴۰	۳۰
۴	تغییر مکان نسبی بام (mm)	۶/۵	۸/۱۵	۲۰	۴/۷	۷/۸	۴۰
۵	تغییر مکان بام (mm)	۳۰	۴۷۵	۳۵	۱۴	۲۵	۴۴
۶	برش پایه (Ton)	۲۵۶	۴۵۵	۴۴	۲۱۵	۲۹۹	۲۸
۷	شتاب بام (m/S^2)	۴/۵	۶	۲۵	۵/۴۶	۷/۰۹	۲۳



شکل ۱۰ نیروی محوری بادبند در سازه‌ی مدل C

با توجه به تحلیل‌های صورت گرفته و مقایسه‌ی دو سازه همراه با میراگر و بدون میراگر می‌توان نتیجه گرفت که استفاده از میراگرهای اصطکاکی چرخشی باعث کاهش نیروی داخلی اعضا و تغییر مکان جانبی سازه می‌گردد و هم‌چنین کاهش عمدی وزن سازه و بهبود عملکرد لرزه‌ای آن را به دنبال دارد. از طرفی با توجه به این‌که استفاده از این میراگرهای به راحتی امکان‌پذیر می‌باشد، بنابراین به منظور مقاوم‌سازی سازه‌های موجود و یا افزایش سطح عملکرد آنها و هم‌چنین برای طرح سازه‌های جدید استفاده از این نوع میراگر بسیار مفید و کارا می‌باشد.

بحث و نتیجه‌گیری

در این تحقیق روشی ساده و کارآمد برای مدل‌سازی میراگرهای اصطکاکی چرخشی توسط نرم‌افزارهای معمول تحلیل سازه پیشنهاد گردید. تحلیل‌ها و ارزیابی‌های انجام شده نشان دادند که روش پیشنهادی به خوبی رفتار غیرخطی میراگر را مدل می‌کند و دارای دقیق کافی می‌باشد. هم‌چنین نتایج نشان دادند که استفاده از میراگرهای اصطکاکی چرخشی در قاب‌های بادبندی ساخته شده از مقاطع معمول بادبندی (مثلًاً ناوданی دوبل) و بدون پیش‌تییده کردن بادبندها، می‌تواند رفتار لرزه‌ای این قاب‌ها را به مقدار زیادی بهبود بخشد.

مراجع

1. Pall, A.S. and Marsh, C., "Response of friction damped braced frames", *J. Struc. Div., ASCE*, 108, pp. 1313–23, (1982).
2. Aiken, I. and Kelly, S., "Earthquake simulator testing and analytical studies of two energy absorbing systems for multi-storey structures", Report No. UCB/EERC-90/03, EERC, Berkeley, (1990).
3. Aiken, J.D., Kelly, J.M. and Pall, A.S., "Seismic Response of a nine-story steel frame with friction damped cross-bracing", Report No. UCB/EERC-88/17, November, (1988).
4. Grigorian, C.E. and Popov, E.P., "Slotted bolted connection energy dissipaters", *J. of Earthquake Spectra, EERI*, 9(3), pp. 491–504, (1993).
5. Mualla, I.H. and Belev, B., "Performance of steel frames with a new friction damper device under earthquake excitation", *J. of Eng. Struct.*, 24, pp. 365–371, (2002).
6. Park, J.H., Min, K.W., Chung, L., Lee, S.K., Kim, S.H. and Moon, B.W., "Equivalent linearization of a friction damper-brace system based on the probability distribution of the extremal displacement", *J. of Eng. Struct.*, 29, pp. 1226–1237, (2007).
7. Nielsen, L. and Mualla, I.H., "A friction damping system low order behavior and design", Rapport BYG.DTUR-030, Danmarks Tekniske University, (2002).

8. Mualla, I.H., "Experimental & computational evaluation of a new friction damper device", Ph.D. Thesis, Dept. of Structural Engineering and Materials, Technical University of Denmark, (2000).

Archive of SID